

3 Opacidade 3D

Existem trabalhos na literatura que falam sobre a função de transferência multidimensional [5, 12, 19, 20, 25] e em todos a grande dificuldade é encontrar uma função de transferência multidimensional que seja adequada para o tipo de dado que esteja sendo visualizado. O problema de se trabalhar com um objeto de dimensão maior que dois está na dificuldade em se criar uma interface com o usuário que é quase tão complicado que editar diretamente o dado. Com o aumento da dimensão aumenta-se a flexibilidade, porém aumenta-se também a dificuldade do usuário definir uma função de transferência que melhor se adeque ao dado que se deseja visualizar.

A interface com o usuário é extremamente importante, pois é esta que vai conduzir o usuário durante o processo de ajuste da função de transferência e, conseqüentemente, na geração da visualização final. Caso o usuário tenha dificuldades em ajustar a função de transferência, possivelmente não terá controle sobre o que está sendo visualizado.

3.1. Teoria da Opacidade 3D

Neste trabalho, quando se trata de uma função de transferência (Opacidade 3D), trata-se de um objeto que tem a mesma dimensão do volume que se quer inspecionar. Desta forma, a tarefa de especificar uma função de Opacidade 3D com toda a sua liberdade pode ser tão difícil quanto manipular diretamente o volume de interesse. Neste trabalho sugere-se uma simplificação na especificação da Opacidade 3D e propõe-se restringir às funções de transferência 3D que podem ser obtidas através de uma combinação de três funções de transferência 1D. A opacidade 3D, desenvolvida neste trabalho, utiliza três tabelas de cores 1D para compor a chamada *lut 3D* (tabela de cores 3D). A idéia de dimensão é dada por cada tabela de cor 1D que compõe a tabela de cores 3D.

Optou-se por utilizar três tabelas de cores 1D, pois, conforme já mencionado, caso fosse criada uma interface 3D a dificuldade que o usuário teria em escolher uma região para marcar como visível seria a mesma que marcar no próprio dado volumétrico que se deseja visualizar.

Para a opacidade 3D foi criado um novo volume, que seguindo a nomenclatura dada por Silva[30], chamou-se de volume terciário. Seguindo a nomenclatura da opacidade 2D, os nomes dos volumes não têm nenhuma ligação com a importância do mesmo na visualização final.

Junto com as três tabelas de cores 1D descritas anteriormente, na seção 2.2.5.1, a tabela de cores 3D é composta por mais doze coeficientes, que serão utilizados para criar a função de transferência tridimensional. Esta, por sua vez, é responsável por criar uma tabela de cores resultante que será utilizada na visualização do dado sísmico. Esta tabela resultante não é apresentada ao usuário, pois sua criação é feita no *hardware* gráfico.

A função de transferência é dada através de uma combinação entre as três tabelas de cores utilizadas no processo e de acordo com os coeficientes (parâmetros de combinação) fornecidos pelo usuário. A combinação é feita com base nos canais *RGB* e da transparência das tabelas de cores, atendendo o grau de contribuição de cada canal no valor final da tabela de cor resultante. Neste trabalho explora-se duas maneiras de combinar as três cores provenientes de cada tabela 1D: uma por combinação linear e outra por produto.

Os doze parâmetros utilizados para definir a função de transferência que irá gerar a tabela de cores resultante são: C_{r_1} , C_{r_2} , C_{r_3} , C_{g_1} , C_{g_2} , C_{g_3} , C_{b_1} , C_{b_2} , C_{b_3} , C_{a_1} , C_{a_2} e C_{a_3} , onde os C_{r_i} , C_{g_i} , C_{b_i} e C_{a_i} representam os coeficientes do canal *R*, *G*, *B* e *A* de cada tabela de cores, respectivamente.

Uma possível função de transferência é dada por:

$$\begin{aligned}
 C_R &= C_{r_1} \times R_1 + C_{r_2} \times R_2 + C_{r_3} \times R_3 \\
 C_G &= C_{g_1} \times G_1 + C_{g_2} \times G_2 + C_{g_3} \times G_3 \\
 C_B &= C_{b_1} \times B_1 + C_{b_2} \times B_2 + C_{b_3} \times B_3 \\
 C_A &= C_{a_1} \times A_1 + C_{a_2} \times A_2 + C_{a_3} \times A_3
 \end{aligned} \tag{1}$$

Onde C_R , C_G , C_B e C_A são os canais *R*, *G*, *B* e *A* da tabela de cores resultante, respectivamente. Os coeficientes podem variar de zero a um, sendo zero quando

este parâmetro não contribui em nada para a tabela de cores resultante e um para quando o parâmetro contribui com cem por cento para a tabela de cores resultante.

Os parâmetros R_i , G_i , B_i e A_i são os valores dos canais R, G, B e A, respectivamente, das tabelas de cores 1D que irão gerar a tabela de cores 3D.

Durante a execução deste trabalho foram feitos testes com outras funções de transferência e chegou-se à conclusão que para alguns casos a multiplicação dos canais é mais vantajosa do que a soma. A combinação de multiplicação dos canais é dada por:

$$\begin{aligned} C_R &= C_{r_1} \times R_1 \times C_{r_2} \times R_2 \times C_{r_3} \times R_3 \\ C_G &= C_{g_1} \times G_1 \times C_{g_2} \times G_2 \times C_{g_3} \times G_3 \\ C_B &= C_{b_1} \times B_1 \times C_{b_2} \times B_2 \times C_{b_3} \times B_3 \\ C_A &= C_{a_1} \times A_1 \times C_{a_2} \times A_2 \times C_{a_3} \times A_3 \end{aligned} \quad (2)$$

No caso da função de transferência que utiliza a multiplicação dos canais de cores, a representação da função de transferência utilizada pode ser resumida a:

$$\begin{aligned} C_R &= C_{res_R} \times R_1 \times R_2 \times R_3 \\ C_G &= C_{res_G} \times G_1 \times G_2 \times G_3 \\ C_B &= C_{res_B} \times B_1 \times B_2 \times B_3 \\ C_A &= C_{res_A} \times A_1 \times A_2 \times A_3 \end{aligned} \quad (3)$$

onde, $C_{res_R} = C_{r_1} \times C_{r_2} \times C_{r_3}$, $C_{res_G} = C_{g_1} \times C_{g_2} \times C_{g_3}$, $C_{res_B} = C_{b_1} \times C_{b_2} \times C_{b_3}$ e $C_{res_A} = C_{a_1} \times C_{a_2} \times C_{a_3}$.

Quando o usuário seleciona uma determinada região do atributo sísmico como sendo visível, há interesse em estudar um evento sísmico que ocorreu naquela era geológica. Gerhardt[11,12] verificou que com a opacidade 1D, muitas vezes, o usuário não consegue isolar por completo este evento (Gerhardt[11,12] e Silva[30]) e para tal ele tem à disposição a opacidade 2D. Esta se utiliza de dois atributos sísmicos para tentar isolar o evento sísmico de interesse, fazendo com que apenas o que está marcado como sendo visível nos dois atributos seja visto pelo usuário.

Quando a opacidade 3D utiliza a soma de canais para gerar a visualização, isto não acontece, pois ao invés de restringir-se uma área de interesse, a soma

funciona como uma “união” de áreas de interesse, fazendo com que mais dados sejam vistos. Já a multiplicação de canais restringe, somente, à área de interesse.

A Figura 15 mostra como a multiplicação dos atributos funciona como uma interseção. Somente na região em que ambos atributos estão visíveis é que o produto resulta um. Nas demais regiões este produto é zero e nada é visualizado.

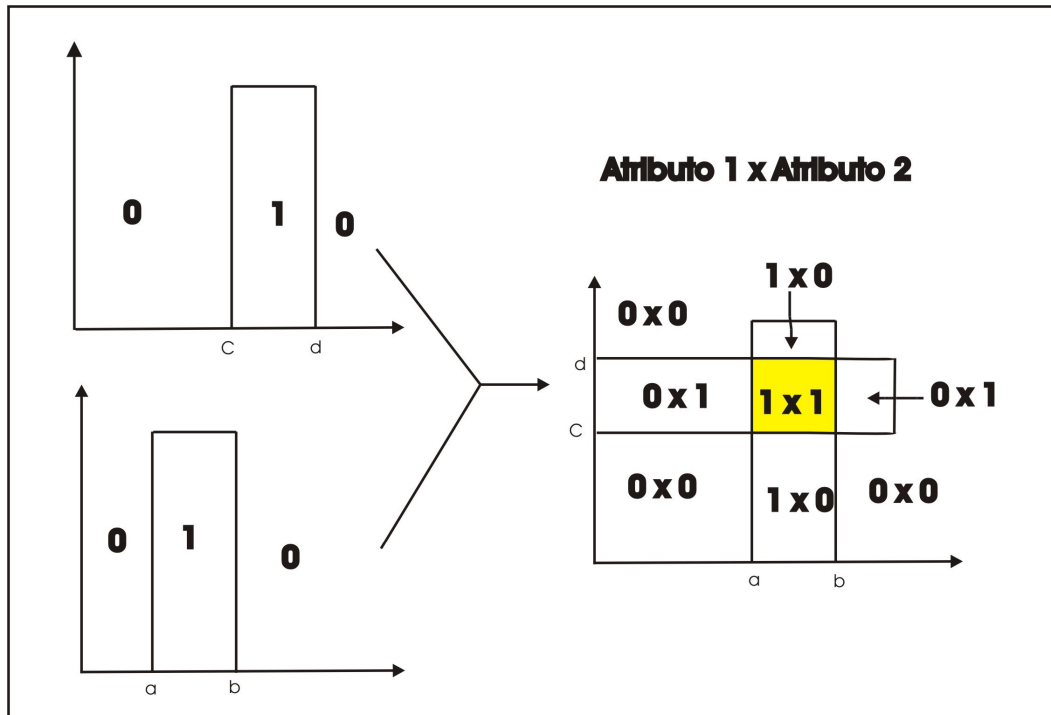


Figura 15 – Multiplicação do canal alfa na opacidade 2D.

Este trabalho tem por objetivo apresentar uma técnica que auxilie o trabalho de um intérprete, disponibilizando uma série de atributos sísmicos, onde cada um acrescente uma informação a mais para o estudo de um determinado bloco sísmico.

A interação com o usuário é de fundamental importância para a eficácia desta técnica. Para garantir uma renderização em tempo real, utiliza-se programação em placa de vídeo. Para executar o algoritmo de visualização é necessário que a estação de trabalho possua uma placa de vídeo com extensão `GL_ARB_fragment_program`. Esta extensão foi aprovada pelo comitê ARB em setembro de 2002 e incorporada ao *OpenGL* a partir da versão 1.3. Por utilizar uma extensão do *OpenGL* a implementação não é restrita a um fabricante específico de *hardware* gráfico, basta o mesmo ter a extensão mencionada.

3.2. Implementação

A implementação da opacidade 3D foi feita no *software* v3o2. No desenvolvimento deste trabalho foi necessária a criação de uma interface onde o usuário tem a oportunidade de editar a tabela de cores referente à opacidade 3D. Esta tabela de cores foi chamada de *lut 3D*. A seguir será apresentada a parte do código referente à programação em placa com uma descrição de cada linha do código. Esta parte do código foi implementada como um *fragment program*, que é a parte do código que será executada em *GPU*. O *fragment program* é executado para cada fragmento, ou seja, para cada *pixel* da imagem que encontra-se no *z-buffer* e que será renderizado no *frame buffer*.

```
(1)  "!!ARBfp1.0"
(2)  "TEMP rgba_frag;"
(3)  "TEMP lut1;"
(4)  "TEMP lut2;"
(5)  "TEMP lut3;"
(6)  "TEMP temp;"
(7)  "TEX rgba_frag, fragment.texcoord[0], texture[0], 3D;"
(8)  "TEX lut1, rgba_frag.g, texture[2], 2D;"
(9)  "TEX lut2, rgba_frag.b, texture[3], 2D;"
(10) "TEX lut3, rgba_frag.r, texture[4], 2D;"
(11) "MUL temp, program.local[1], lut1;"
(12) "MAD temp, program.local[2], lut2, temp;"
(13) "MAD temp, program.local[3], lut3, temp;"
(14) "MUL result.color, temp, 0.3333;"
(15) "END";
```

Esta seção será dividida em três partes e em cada uma, será comentado um conjunto de linhas do código. A primeira parte identifica as texturas que serão utilizadas no processo de visualização e mostra como estas são construídas. Em seguida é apresentada a parte onde são feitas as consultas das texturas (*fetch*). E por último é apresentada a combinação das cores, utilizando as funções de transferências que foram descritas na seção anterior.

Como pode ser visto o *fragment program* é uma *string*. Esta *string* é passada para a placa em tempo de execução. A placa fica encarregada de compilar este programa e de armazená-lo em memória (da *GPU*).

A primeira linha do código refere-se a versão do *fragment program* que está sendo utilizada, no caso a *ARBfp1.0*. As linhas (2), (3), (4), (5) e (6) são declarações de variáveis temporárias que estão sendo criadas pelo *fragment program*. Estas variáveis são vetores com quatro posições. Neste caso a palavra *TEMP* é uma palavra reservada do *fragment program*.

3.2.1. Construção das Texturas

Antes de explicar como ocorre a construção das texturas que são utilizadas na visualização, deve-se entender um detalhe de implementação do *v3o2*. Para compor a opacidade 2D, Silva[30] cria uma textura *RGB* tridimensional para guardar os valores dos atributos que compõem a opacidade 2D.

Ao visualizar um volume, no *v3o2*, é feita uma “transformação” do dado sísmico, pela qual os valores do atributo sísmico são convertidos para valores inteiros entre zero e duzentos e cinqüenta e cinco. Este processo é conveniente já que a visualização do dado sísmico é feita utilizando uma tabela com 256 cores. Este processo é comumente chamado de quantização. O valor do atributo quantizado refere-se a uma cor da tabela de cores 1D associada a este volume que será utilizado para visualização.

Para compor a textura *RGB* tridimensional, Silva[30] faz com que o canal R seja sempre zero, o canal G seja os valores quantizados do volume primário e o canal B como sendo os valores quantizados do volume secundário. A Figura 16 mostra o esquema de construção desta textura tridimensional.

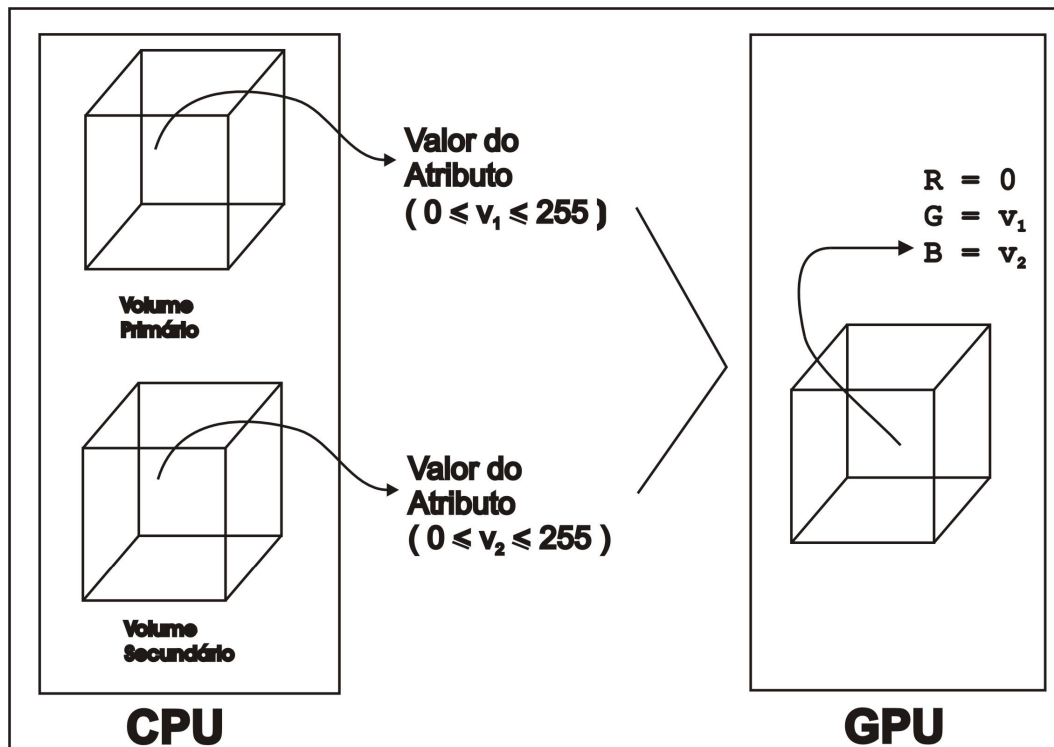


Figura 16 – Construção da textura tridimensional RGB (opacidade 2D).

A opacidade 3D faz uso desta textura tridimensional atribuindo os valores quantizados do volume terciário ao canal R da textura, que anteriormente tinha seus valores nulos. Os canais G e B não são alterados.

Antes de dar continuidade a análise do código, faz-se necessário identificar que texturas estão sendo criadas no programa. A primeira textura que aparece no código é a `texture[0]` que é uma textura 3D. Esta textura é a textura tridimensional que foi descrita anteriormente. A `texture[1]` não aparece em nenhum momento no código apresentado. Isto se deve ao fato desta textura estar sendo utilizada para a iluminação do dado sísmico, não sendo utilizada na opacidade 3D.

As texturas de número dois, três e quatro são as texturas do tipo 2D que estão associadas aos volumes primário, secundário e terciário, respectivamente. A criação destas texturas e o carregamento destas, em GPU, são feitos fora do *fragment program*.

3.2.2. Consulta de Textura

Para aplicar uma textura em um objeto, é preciso criar uma relação entre os vértices dos polígonos do objeto e os *texels* da textura. Esta relação é feita através

do mapeamento das coordenadas de textura. Cada vértice de um polígono que está sendo desenhado possui um vetor (s, t, r, w) de coordenadas de textura que identifica um ponto com seu valor *RGBA* na textura. Os vetores dos pontos são interpolados para todos os fragmentos do polígono durante a rasterização.

As linhas (7), (8), (9) e (10) do código apresentado começam com a instrução *TEX*, que é o mapeamento da coordenada de textura para a cor da textura. A instrução *TEX* possui a sintaxe

```
TEX v, u, t, tipo de textura
```

onde, *v* representa um vetor de saída com os valores de RGB. O segundo parâmetro *u* indica a identificação da imagem de textura. A textura “alvo” é indicada pelo parâmetro *t* e o tipo de textura refere-se à dimensão da textura.

A linha (7) do código apresentado usa a coordenada de textura (s, t, r) do fragmento que está em *fragment.texcoord[0]* para obter em *texture[0]* qual é o RGB que esta coordenada de textura aponta e associa ao vetor *rgba_frag*. Esta textura é uma textura dependente, pois utiliza os valores RGB como coordenada de textura. Isto pode ser visto ao analisar as linhas (8), (9) e (10).

Como foi descrito na seção 3.2.1 a textura zero possui os valores quantizados referentes aos volumes primário, secundário e terciário. Logo, o vetor *rgba_frag.g* representa o valor “quantizado” do atributo primário e este valor representa um índice da tabela de cores 1D que está associado a este volume.

Na linha de número (8), o valor que foi retornado da linha (7) e armazenado em *rgba_frag.g* é usado como coordenada de textura na consulta ao valor de *RGBA* que está em *texture[2]*. Este valor de *RGBA* é atribuído a variável *lut1*. Feito isso, a cor resultante em *lut1* é a cor definida pelo volume primário. O mesmo ocorre nas linhas (9) e (10), onde são atribuídas as cores definidas pelos volumes secundários e terciários às variáveis *lut2* e *lut3*, respectivamente.

A Figura 17 mostra o caminho que é feito pela consulta (*fetch*) de textura até a cor que contribuirá com a visualização.

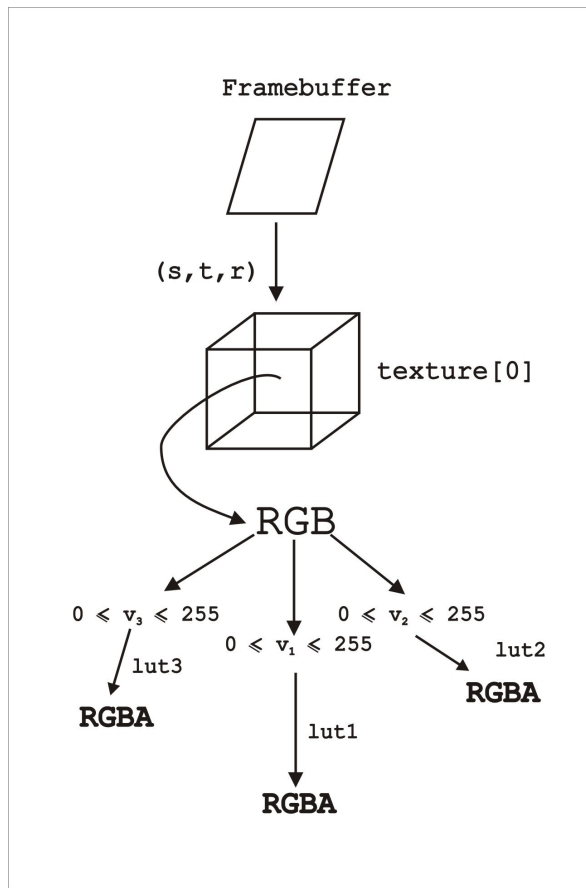


Figura 17 – Consulta (fetch) de textura até a cor.

Ao final da fase de consulta temos três vetores RGBA, um para cada volume (atributo). Esses três vetores são combinados para gerar a cor final do fragmento.

3.2.3. Combinação das cores

A instrução *MUL* aparece na linha (11). Esta instrução é uma palavra reservada do *fragment program* que tem por objetivo multiplicar duas variáveis, essa multiplicação é feita componente a componente. A sintaxe é “*MUL a, b, c;*”, onde pode-se entender como sendo $a = b \times c$. Ainda na linha (11), aparece uma variável chamada *program.local*. Esta variável refere-se aos coeficientes descritos na seção 3.1, que serão utilizados na função de transferência. Este parâmetro também é um vetor de quatro posições.

O *program.local[1]* refere-se aos coeficientes C_{r_1} , C_{g_1} , C_{b_1} , C_{a_1} , ou seja, os coeficientes que estão sendo aplicados à tabela de cores 1D associada ao volume primário. Estes parâmetros são passados para a *GPU* através do comando

glProgramLocalParameter4dARB, e toda vez que um parâmetro for atualizado, este comando deve ser chamado para informar ao *hardware* gráfico os novos valores a serem utilizados. As variáveis *program.local[2]* e *program.local[3]* são os coeficientes relacionados à tabela de cores associada ao volume secundário e à tabela de cores associada ao volume terciário, respectivamente. O resultado da linha (11) é que o vetor *temp* será representado por:

$$temp.r = C_{r_1} \times lut1.r$$

$$temp.g = C_{g_1} \times lut1.g$$

$$temp.b = C_{b_1} \times lut1.b$$

$$temp.a = C_{a_1} \times lut1.a.$$

Nas linhas (12) e (13) aparece a instrução *MAD* (*multiply and add*), que é responsável por multiplicar e somar. A sintaxe de *MAD* é “*MAD a, b, c, d*” que pode ser escrita como sendo $a = b \times c + d$. Logo, na linha (12) o vetor *temp* será representado como sendo a multiplicação dos coeficientes associados a tabela de cores do volume secundário somado com os valores encontrados na linha (11), ou seja, *temp* será representado por:

$$temp.r = C_{r_2} \times lut2.r + temp.r$$

$$temp.g = C_{g_2} \times lut2.g + temp.g$$

$$temp.b = C_{b_2} \times lut2.b + temp.b$$

$$temp.a = C_{a_2} \times lut2.a + temp.a$$

Para a linha (13) tem-se que *temp* será descrito como sendo:

$$temp.r = C_{r_3} \times lut3.r + temp.r$$

$$temp.g = C_{g_3} \times lut3.g + temp.g$$

$$temp.b = C_{b_3} \times lut3.b + temp.b$$

$$temp.a = C_{a_3} \times lut3.a + temp.a$$

A linha de número (14) novamente representa uma multiplicação. Aqui o resultado da multiplicação é atribuído a variável *result.color*. Esta variável é uma palavra reservada do *fragment program* e representa a cor com que o fragmento será desenhado no *frame-buffer*. A multiplicação por 0,3333 tenta impedir a saturação da cor resultante do fragmento.

Para finalizar o código a linha de número (15) indica ao *fragment program* que este chegou ao fim.

Esta foi a análise para a parte do código referente ao processamento em *GPU* utilizando uma função de transferência com soma de canais. A seguir será apresentado o código com a função de transferência que utiliza a multiplicação dos canais de cores para compor a visualização.

```
(1)  "!!ARBfp1.0"
(2)  "TEMP rgba_frag;"
(3)  "TEMP lut1;"
(4)  "TEMP lut2;"
(5)  "TEMP lut3;"
(6)  "TEMP temp1;"
(7)  "TEMP temp2;"
(8)  "TEMP temp3;"
(9)  "TEMP temp4;"
(10) "TEX rgba_frag, fragment.texcoord[0], texture[0], 3D;"
(11) "TEX lut1, rgba_frag.g, texture[2], 2D;"
(12) "TEX lut2, rgba_frag.b, texture[3], 2D;"
(13) "TEX lut3, rgba_frag.r, texture[4], 2D;"
(14) "MUL temp1, program.local[1], lut1;"
(15) "MUL temp2, program.local[2], lut2;"
(16) "MUL temp3, program.local[3], lut3;"
(17) "MUL temp4, temp2, temp1;"
(18) "MUL result.color, temp4, temp3;"
(19) "END";
```

Analisando o código acima, pode-se notar que não existe nenhuma instrução nova. São criadas variáveis temporárias novas como *temp1*, *temp2*, *temp3* e *temp4*. A maior diferença para a função de transferência que utiliza a soma dos canais é que neste caso as instruções *MAD* foram substituídas por *MUL*. As linhas (12) e (13) da função de transferência com soma de canais deu lugar às linhas (15) e (16) da função de transferência com multiplicação de canais. Nesta função de transferência não é necessário fazer a multiplicação por 0,3333 para evitar a saturação dos canais.

Na ferramenta que está sendo oferecida junto ao *software v3o2*, a interface de construção da tabela de cores 3D possui dois quadros de parâmetros. No

quadro da esquerda o usuário informa qual é a tabela de cores 1D que se deseja associar ao volume primário, a tabela de cores do volume secundário e a tabela do volume terciário. No quadro à direita tem-se a opção de editar os coeficientes que serão passados para o programa. Na Figura 18 tem-se uma visão da interface final.

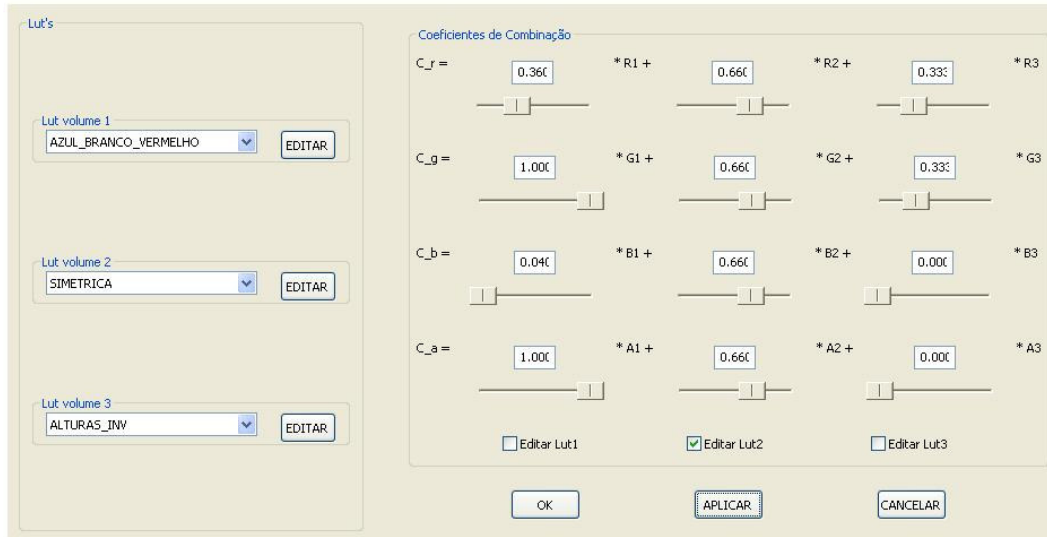


Figura 18 – Interface de edição da tabela de cores 3D com soma de canais

Percebe-se na figura que as tabelas de cores são associadas a volumes. Estes volumes são os volumes sísmicos de origem dos atributos, ou seja, são os dados volumétricos que compõem a combinação.

A tabela de cores que for associada a um volume pode ser editada como qualquer tabela de cores 1D. No quadro da direita há, ainda, três *check boxes* (caixas que podem ser marcadas como ativas ou inativas) que quando ativas, indicam que o usuário deseja editar os valores dos coeficientes referentes àquela tabela de cores de forma idêntica, ou seja, todos os quatro coeficientes referentes à tabela de cores em questão terão o mesmo valor. Caso o usuário desmarque a *check box* os coeficientes de combinação poderão ser editados separadamente.

No exemplo da Figura 18 pode-se notar que o *check box* referente a tabela de cores associada ao volume secundário está ativo e que os quatro coeficientes possuem valor 0.66. Os *check boxes* das outras tabelas de cores estão inativos e têm valores diferentes para seus coeficientes.